



# РОССИЙСКИЙ МОРСКОЙ РЕГИСТР СУДОХОДСТВА

ЦИРКУЛЯРНОЕ ПИСЬМО № 314-26-1122ц

от 12.04.2018

Касательно:

изменений к Правилам классификации и постройки высокоскоростных судов, 2018, НД № 2-020101-111

Объект(ы) наблюдения:

высокоскоростные суда в постройке и эксплуатации

Дата ввода в действие:

с момента опубликования

Действует до: -

Действие продлено до: -

Отменяет/ изменяет/ дополняет циркулярное письмо №

от

Количество страниц: 1 + 3

Приложение(я):

текст изменений к части II «Конструкция и прочность корпуса» Правил классификации и постройки высокоскоростных судов

Генеральный директор

К.Г. Пальников

Текст ЦП:

Настоящим информируем, что в часть II «Конструкция и прочность корпуса» Правил классификации и постройки высокоскоростных судов, 2018, НД № 2-020101-111, вносятся изменения в соответствии с приложением к настоящему циркулярному письму.

Необходимо выполнить следующее:

1. Довести до сведения инспекторского состава подразделений РС, а также заинтересованных лиц в регионе деятельности РС содержание настоящего циркулярного письма.
2. Применять положения циркулярного письма в практической деятельности РС.

Перечень измененных и дополненных пунктов/глав/разделов (для указания в Листе учета ЦП (форма 8.3.36)):

1.1.6, 1.3, 5.3.9.1, 5.3.9.2.1, 5.3.9.2.5, 5.3.9.2.6, 5.3.9.2.7, 5.3.12.5, 5.3.13.2, 5.4.5.2, 5.4.5.3, 5.4.5.4, 5.4.5.6

Исполнитель: Сурикова И.А.

314

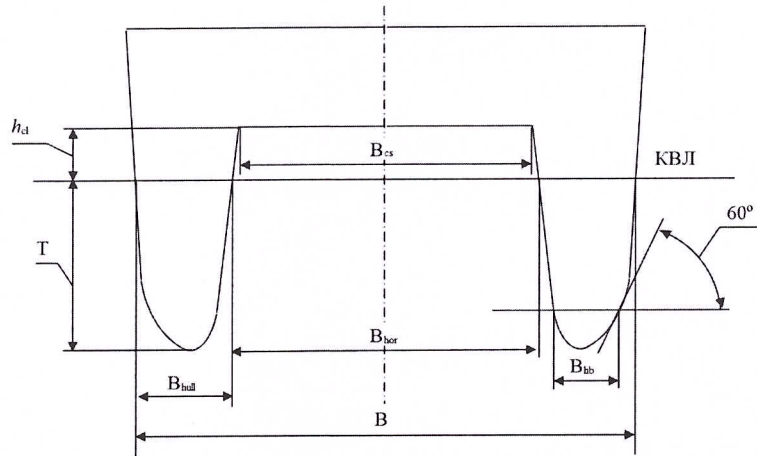
(812) 312-85-72

Система «Тезис» № 18-53633

«ЧАСТЬ II. КОНСТРУКЦИЯ И ПРОЧНОСТЬ КОРПУСА

Пункт 1.1.6 исключается. Нумерация пунктов 1.1.7 – 1.1.8 соответственно меняется на 1.1.6 – 1.1.7.

Рисунок 1.3 «Конструктивные параметры катамарана» заменяется следующим: «



Конструктивные параметры катамарана

Рис. 1.3».

Пункт 5.3.9.1. Аннотация к формуле  $(\bar{\rho}_y)^2 = \frac{\rho_y^2}{L^2} \cdot \frac{1+m_\psi}{1+m_z}$  дополняется следующим текстом:

« $\bar{\rho}_y$  – безразмерный центральный радиус инерции масс судна.»;

аннотация к формуле «  $m_\psi = \frac{\pi}{24} \rho g \cdot \frac{\alpha^2}{(3-2\alpha) \cdot (3-\alpha)} \cdot \frac{B_{hull}^2 \cdot L^3}{\Delta \cdot \rho_y^2}$  ». Обозначение "Δ" исключается.

Пункт 5.3.9.2.1. Формула для "M<sub>w</sub>" заменяется следующей:

$$\langle M_w = 0,059 \alpha \rho g \left( 0,8 - 4,9 \frac{B_{hull}}{L} \right) \cdot (1 + 2Fr_L - 0,3Fr_L^3) \cdot B_{hull} L^3 f k_M^b, \text{ Т·М}; \rangle;$$

аннотация к формуле дополняется следующим текстом:

« $\alpha$  – коэффициент полноты площади ватерлинии.»;

формула для "M<sub>d</sub> ..." заменяется следующей:

$$\langle M_d = k_{\rho_y} \left( 3,04 - 4,25 \frac{l_c}{L} \right) \cdot (1 + m_z) \cdot \Delta \cdot L \cdot n \cdot k_M^q, \text{ Т·М}; \rangle.$$

Пункт 5.3.9.2.5 исключается.

Нумерация пунктов 5.3.9.2.6 и 5.3.9.2.7 соответственно меняется на 5.3.9.2.5 и 5.3.9.2.6.

Пункт 5.3.12.5 исключается.

Пункт 5.3.13.2. Аннотация к формуле (5.3.13.2-1) дополняется следующим текстом:

« $y$  – отстояние рассматриваемой связи от нейтральной оси сечения корпуса, м (см. рис. 5.3.13.2).».

Рисунок 5.3.13.2. Сечения «А-А» и «В-В» заменяются следующими:

«

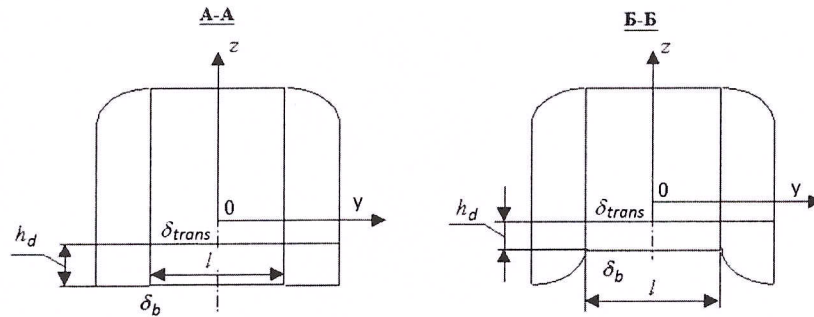


Рис. 5.3.13.2».

**Пункт 5.3.13.2.** Второе выражение в формуле (5.3.13.2-2) заменяется следующим:

$$\langle \sigma_{\delta} = -E(\alpha + \beta) \cdot x \cdot \frac{12}{l^2} \cdot z_{\delta}, \rangle;$$

аннотация к второму выражению в формуле (5.3.13.2-2) дополняется следующим текстом:

« $\alpha$  и  $\beta$  – параметры, определяемые в аннотации к формуле (5.3.13.2-1).».

**Пункт 5.4.5.2.** В аннотации к формуле (5.4.5.2) формулы для определения " $k_0$ " заменяются следующими выражениями:

$$\langle k_0 = 1,0, \text{ если } \frac{10S_0}{B_{cs}L} \leq 0,00015; \rangle$$

$$\langle k_0 = \exp \left[ -1,9 \cdot \left( \frac{10S_0}{B_{cs}L} - 0,00015 \right)^{0,2} \right], \text{ если } \frac{10S_0}{B_{cs}L} > 0,00015, \rangle$$

но не менее 0,3.»;

**Примечание** к формулам для определения " $k_0$ " заменяются следующим текстом:

«Примечания: 1.  $S_0$  — площадь, поддерживаемая элементом (площадь «съема» нагрузки); для пластин поддерживаемая площадь принимается равной произведению расстояния между ребрами жесткости (шпации) на величину, равную длине большей стороны пластины или трехкратной шпации (в зависимости от того, что меньше).

2.  $B_{cs}$  – ширина соединительного моста в соответствии с рис. 1.3.»;

аннотация к формуле (5.4.5.2) дополняется следующим текстом:

« $\Delta$  - водоизмещение, кН.».

**Пункт 5.4.5.3.** Формула (5.4.5.3) заменяется следующей:

$$\langle P_i = \frac{(56Fr_L^2 + 28Fr_L + 70) \cdot n}{B_h \cdot L} \cdot \Delta \cdot k_x k_0^b k_{sh}, \text{ кН/м}^2, \rangle;$$

в аннотации к формуле параметр  $\bar{h}$  заменяется на  $n$ ;

аннотация дополняется следующим текстом:

« $\Delta$  - водоизмещение, кН.».

**Пункт 5.4.5.4.** Ссылка на пункт «5.4.5.8» заменяется на «5.4.5.3».

**Рис. 5.4.5.4.** Обозначение к рисунку заменяется следующим: «

Распределение расчетных давлений  
 по контуру поперечного сечения:  
 ————— волновые давления,  
 - - - - - ударные давления  
 ».

**Пункт 5.4.5.6.** Формула (5.4.5.6-2) заменяется следующей:

$$\langle P_w = k_w(P_w^{wl} - \rho g z_i), \text{ кН/м}^2 \rangle;$$

аннотация к формуле (5.4.5.6-2) дополняется следующим текстом:

« $\rho$  – плотность морской воды, т/м<sup>3</sup>».

**Пункт 5.4.5.7.** Формула для определения  $k_\mu(x)$  в аннотации к формуле (5.4.5.7) заменяется следующим выражением:

$$\langle k_\mu(x) = \left(1,0 - \frac{3b(x)}{L}\right) \cdot \left\{1 - \left[2,5 - \left(\frac{1,2B_{hor}}{T(x)} + 0,63\right) \cdot \exp\left(-21\left(Fr_L - 0,28\sqrt{\frac{L}{B_{hor}}}\right)^2\right)\right] \cdot \frac{b(x)}{L} \cdot (1 + 2,5Fr_L)^2\right\}; \rangle.$$